

响应面法优化水飞蓟茎中总黄酮的提取工艺

于金跃,孙晶,李新华*,齐晓军,王海娜

(沈阳农业大学食品学院,辽宁沈阳 110161)

摘要:利用响应面法优化水飞蓟茎中黄酮类物质的提取工艺。分别研究提取时间、乙醇体积分数、料液比、提取温度四个单因素实验对水飞蓟茎中总黄酮提取量的影响。实验结果表明,最佳提取工艺为提取时间50min、提取温度61℃、乙醇体积分数40%、料液比1:40。该条件下水飞蓟茎中总黄酮提取量为4.71mg/g,与多项式回归模型的结果一致。

关键词:水飞蓟茎,总黄酮,响应面法,提取工艺

Optimization extraction of total flavonoids from stems of *Silybum marianum* by response surface methodology

YU Jin-yue, SUN Jing, LI Xin-hua*, QI Xiao-jun, WANG Hai-na

(Food College of Shenyang Agricultural University, Shenyang 110161, China)

Abstract: The flavonoids from stems of *Silybum marianum* were extracted with ethanol, and the extraction process was optimized by response surface methodology, four single factors test were made to investigate the effects of extraction time, ethanol concentration, material-liquid ratio on total flavonoids yield. The research findings showed that the optimized conditions were as follows: extraction time 50min, extraction temperature 61℃, ethanol concentration 40%, material-liquid ratio 1:40. Under the conditions, the yield of flavonoids was 4.71g/mg with results of a polynomial regression model were in agreement.

Key words: stems of *Silybum marianum*; total flavonoids; response surface methodology; extraction process

中图分类号:TS202.3

文献标识码:B

文章编号:1002-0306(2015)06-0295-05

doi:10.13386/j.issn1002-0306.2015.06.056

黄酮类化合物是植物产生的一些次级代谢产物^[1],广泛存在于高等植物的根、茎、叶、花、果实等中。黄酮类化合物具有高度的化学反应性,如能清除体内的自由基,具有抗氧化性作用^[2];且黄酮类化合物拥有抑制酶的活性、抗病毒^[3]、抗炎症^[4]、抗癌^[5]、抗糖尿病并发症^[6]等功能,已被列为保健食品的一类功能因子^[7]。

水飞蓟(*Silybum marianum*)是一种一年生或两年生植物,原产于南欧及北非^[8],被称为具有抗癌活性的草药^[9],同时有益于肝脏疾病^[10]和免疫系统疾病的治疗^[11]。目前,水飞蓟已成为世界公认的保肝植物。但目前大多是对水飞蓟种籽进行研究,而对水飞蓟茎叶的研究相对较少^[12]。本研究以水飞蓟茎为原料,采用有机溶剂提取水飞蓟茎中黄酮类物质,以总黄酮提取量为指标,采用响应面法优化水飞蓟茎中黄酮类物质的提取工艺条件,为进一步开发利用水飞蓟茎叶提供理论依据。

1 材料与方法

1.1 材料与仪器

水飞蓟茎 采自辽宁盘锦,自然风干;芦丁标准品(>98%) 成都曼斯特有限公司;无水乙醇 沈阳化学试剂厂。

GD200-2型电子天平 北京赛多利斯仪器有限公司;KQ-250DB型数控超声波清洗器 昆山市超声仪器有限公司;SHE-IIIB型循环水式多用真空泵 上海博通经贸有限公司;7200型可见分光光度计 尤尼柯(上海)有限公司。

1.2 实验方法

1.2.1 芦丁标准曲线的绘制 精确称取芦丁标准品10mg,用60%的乙醇定容至100mL的容量瓶中,配制成0.1mg/mL的标准液。

分别吸取0、0.1、0.2、0.3、0.4、0.5mL的芦丁标准品溶液于10mL试管中,加60%的乙醇溶液至5mL。加

收稿日期:2014-06-17

作者简介:于金跃(1988-),女,硕士研究生,研究方向:食品科学。

* 通讯作者:李新华(1955-),男,硕士,教授,研究方向:粮食加工与转化。

5%的NaNO₂溶液0.3mL, 摆匀后静置5min; 加10%的Al(NO₃)₃溶液0.3mL, 摆匀后静置6min; 加4%的NaOH溶液4mL, 用60%的乙醇溶液定容至10mL, 摆匀后静置15min, 于506nm处测定吸光度, 以吸光度(A)为纵坐标, 芦丁质量浓度(mg/mL)为横坐标, 绘制芦丁标准曲线^[13]。

1.2.2 水飞蓟茎中总黄酮含量的测定方法 将风干的水飞蓟茎打碎成粉末, 过60目筛, 准确称取1.00g水飞蓟茎粉末于锥形瓶中, 在一定的温度、料液比、乙醇体积分数下提取一定时间后, 抽滤; 滤液用乙醇溶液定容至100mL的容量瓶中, 摆匀, 作为待测液; 移取1.00mL待测液按1.2.1方法于506nm处测定吸光度。根据回归方程, 用吸光度计算出被测液中黄酮类物质的质量浓度c, 然后由c计算出水飞蓟茎中总黄酮的含量。

$$\text{总黄酮提取量}(\text{mg/g}) = \frac{c \times N \times V}{m}$$

式中:c—稀释后样品溶液总黄酮质量浓度(mg/mL); N—稀释倍数: 10; V—最初样品定容体积(100mL); m—样品质量(1.00g)。

1.2.3 单因素实验

1.2.3.1 提取温度对总黄酮提取量的影响 准确称取1.00g的水飞蓟茎粉5份, 分别置于锥形瓶中, 料液比为1:40, 用体积分数为40%的乙醇溶液分别在40、50、60、70、80℃条件下回流提取50min。

1.2.3.2 乙醇体积分数对总黄酮提取量的影响 准确称取1.00g的水飞蓟茎粉5份, 分别置于锥形瓶中, 料液比为1:40, 分别加入体积分数为10%、20%、40%、60%、80%的乙醇溶液, 在60℃条件下回流提取50min。

1.2.3.3 料液比对总黄酮提取量的影响 准确称取1.00g的水飞蓟茎粉5份, 分别置于锥形瓶中, 分别加入料液比为1:20、1:30、1:40、1:50、1:60的60%乙醇在60℃条件下回流提取50min。

1.2.3.4 提取时间对总黄酮提取量的影响 准确称取1.00g的水飞蓟茎粉5份, 分别置于锥形瓶中, 料液比为1:40, 用体积分数为40%的乙醇溶液在60℃条件下分别提取10、30、50、70、90min。

1.2.4 响应面实验 根据单因素实验结果, 选取乙醇体积分数、料液比、提取温度为对提取黄酮影响较显著的三个因素, 在固定提取时间50min的条件下, 根据Box-Beknhen实验设计原理, 以黄酮提取量为响应值, 采用3因素3水平的响应面实验表, 进行响应面实验确定水飞蓟茎中总黄酮提取的最佳工艺。因素水平编码表如表1所示。

表1 响应面因素水平编码表

Table 1 Factors and levers of response surface test

因素	水平		
	-1	0	1
A 乙醇体积分数(%)	20	40	60
B 料液比	1:30	1:40	1:50
C 提取温度(℃)	50	60	70

1.2.5 数据处理 本实验中所用到的数据分析软件是Design Expert.v 8.0和Spss Statistics 17.0。

2 结果与分析

2.1 芦丁标准曲线

芦丁标准曲线如图1所示。

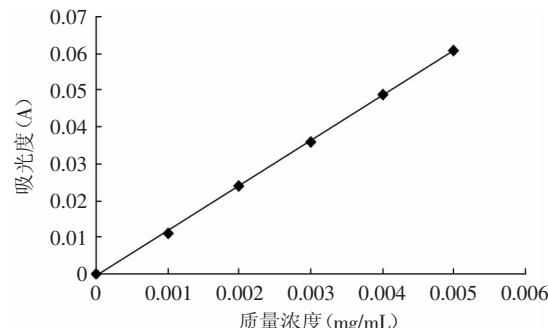


图1 芦丁标准曲线

Fig.1 Standard curve of rutin

芦丁线性回归方程为:y=12.314x-0.0006, R²=0.9996, 在0~0.005mg/mL浓度范围内有较好的线性关系。

2.2 影响总黄酮提取的单因素实验结果

2.2.1 提取温度对总黄酮提取量的影响 不同提取温度对水飞蓟茎中总黄酮提取量影响的结果如图2所示。

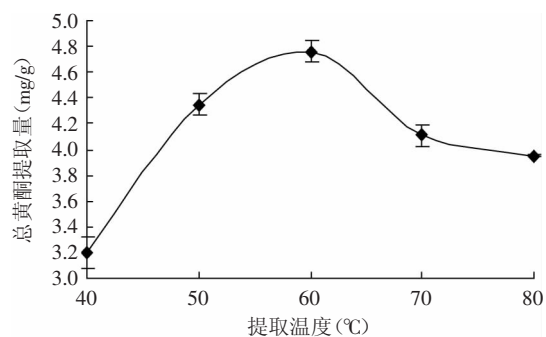


图2 提取温度对总黄酮提取量的影响

Fig.2 Effect of extraction temperature on total flavonoids yield

由图2可知, 当提取的温度低于60℃时, 随着温度的升高, 黄酮的提取量增加; 当温度为60℃时, 黄酮提取量达到最大, 但当温度继续增加时, 黄酮提取量反而下降。原因是温度升高接近乙醇沸点有利于回流, 提取量会增加, 但是温度过高可能会导致活性成分的破坏从而使黄酮的提取量下降^[14]。

2.2.2 乙醇体积分数对总黄酮提取量的影响 不同乙醇体积分数对水飞蓟茎中总黄酮提取量的影响见图3。

由图3可知, 随着乙醇体积分数的提高, 水飞蓟茎中黄酮的提取量逐渐增大。当乙醇体积分数达到40%时, 黄酮的提取量最高。超过该体积分数后, 黄酮的提取量反而下降, 同时叶绿色大部分溶出, 通过用比色法来测定黄酮含量的结果带来一定的影响, 所以选择乙醇体积分数40%左右比较适宜。

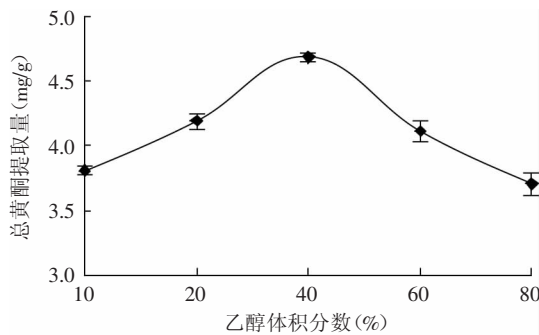


图3 乙醇体积分数对总黄酮提取量的影响

Fig.3 Effect of ethanol concentration on total flavonoids yield

2.2.3 料液比对总黄酮提取量的影响 不同料液比对水飞蓟茎中总黄酮提取量影响的结果如图4所示。

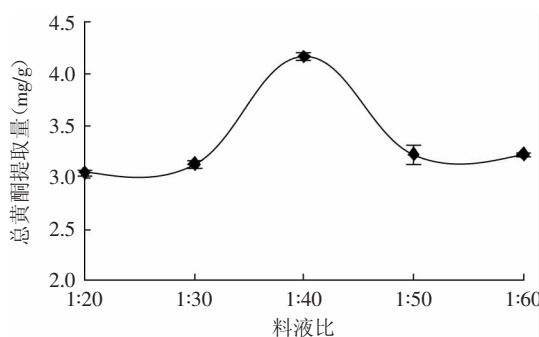


图4 料液比对总黄酮提取量的影响

Fig.4 Effect of liquid-to-solid ratio on total flavonoids yield

由图4可知,随着料液比的增加,黄酮提取量逐渐增大,当料液比达到1:40时,黄酮的提取量达到最大,当料液比超过1:40时,黄酮的提取量逐渐下降且趋于平缓。

2.2.4 提取时间对总黄酮提取量的影响 不同提取时间对水飞蓟茎中总黄酮提取量的影响见图5。

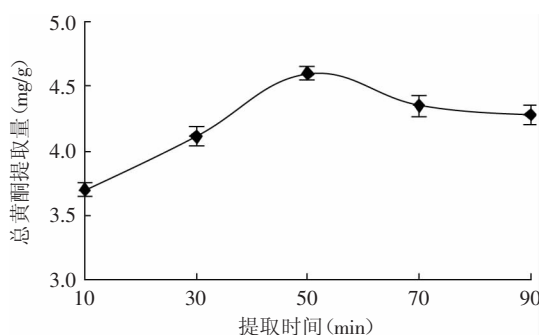


图5 提取时间对总黄酮提取量的影响

Fig.5 Effect of extraction time on total flavonoids yield

由图5可知,随着浸提时间延长,黄酮提取量增加,当浸提时间是50min时,黄酮提取量最高,达到4.60mg/g。继续延长浸提的时间,黄酮提取量有所下降。可能是由于回流热效应长时间作用会破坏黄酮,使其损失增大而影响黄酮的提取量从而产生负效应。

2.3 响应面实验

2.3.1 响应面实验结果 响应面实验结果如表2所

示,利用Design Expert.v 8.0软件进行回归分析,得到水飞蓟茎中黄酮提取量(Y)对乙醇体积分数(A)、料液比(B)、提取温度(C)的二次多项回归方程为:

$$Y=4.71-0.035A+0.16B+0.016C+1.000E-002AB+0.040AC+0.18BC-0.45A^2-1.03B^2-0.15C^2$$

表2 响应面实验结果

Table 2 Test design and results of response surface analysis

实验号	A	B	C	黄酮提取量 (mg/g)	提取量预测值 (mg/g)
1	0	1	1	3.97	3.89
2	0	0	0	4.76	4.71
3	0	0	0	4.68	4.71
4	-1	0	-1	4.19	4.17
5	0	0	0	4.76	4.71
6	-1	1	0	3.34	3.41
7	0	-1	1	3.16	3.21
8	1	-1	0	3.09	3.02
9	-1	-1	0	3.17	3.11
10	-1	0	1	4.11	4.12
11	1	0	1	4.11	4.13
12	0	-1	-1	3.46	3.54
13	1	1	0	3.30	3.36
14	0	1	-1	3.54	3.49
15	0	0	0	4.68	4.71
16	1	0	-1	4.03	4.02
17	0	0	0	4.68	4.71

2.3.2 回归方程方差分析 方差分析结果详见表3所示,模型Prob>F值小于0.01,表明该回归方程极显著,失拟项不显著,同时B、BC、A²、B²、C²对黄酮提取量Y值的影响极显著。从表3中可以看出,在所选取的因素中,对黄酮提取量的影响大小依次为:料液比>乙醇体积分数>提取温度,并且模型的决定系数R²=99.31%,大于90%,说明模型方程拟合程度好,可以用于黄酮提取实验的理论预测。

2.3.3 响应曲面分析 根据回归模型作出相应的响应面图,见图6~图8。

从图6中可以看出,等高线的形状为偏圆形,表

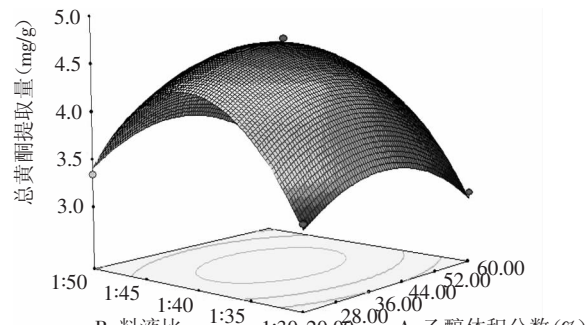


图6 乙醇体积分数和料液比对总黄酮提取量影响的响应面图

Fig.6 Response surface plot showing the interactive effect of ethanol concentration and material-liquid ratio on total flavonoids yield

表3 方差分析表

Table 3 Analysis of variance for each term of the fitted regression equation

方差来源	平方和	自由度	均方和	F值	Prob>F值	显著性
A	800E-003	1	9.800E-003	1.61	0.2445	
B	0.20	1	0.20	33.20	0.0007	**
C	2.113E-003	1	2.113E-003	0.35	0.5738	
AB	4.000E-004	1	4.000E-004	0.066	0.8048	
AC	6.400E-003	1	6.400E-003	1.05	0.3388	
BC	0.13	1	0.13	21.94	0.0023	**
A ²	0.87	1	0.87	143.40	<0.0001	**
B ²	4.49	1	4.49	738.86	<0.0001	**
C ²	0.091	1	0.091	15.04	0.0061	**
模型	6.16	9	0.68	112.68	<0.0001	**
残差	0.043	7	6.072E-003			
失拟项	0.035	3	0.012	6.05	0.0574	
纯误差	7.680E-003	4	1.920E-003			
总离差	6.20	16				

 $R^2=99.31\%$ $R^2_{Adj}=98.43\%$ 注:**($p<0.01$)极显著;*($p<0.05$)显著。

明乙醇体积分数A和料液比B交互作用不显著。响应曲面较为陡峭,响应值随料液比B的变化率大于乙醇体积分数A的变化率,说明在两者的交互作用中料液比B对水飞蓟茎中总黄酮含量的影响大于乙醇体积分数A。

从图7中可以看出,等高线的形状偏圆形,表明乙醇体积分数A和提取温度C的交互作用不显著。响应曲面较为平滑,响应值随乙醇体积分数A的变化率大于提取温度C的变化率,说明在两者的交互作用中乙醇体积分数A对水飞蓟茎中黄酮的含量的影响大于提取温度C。

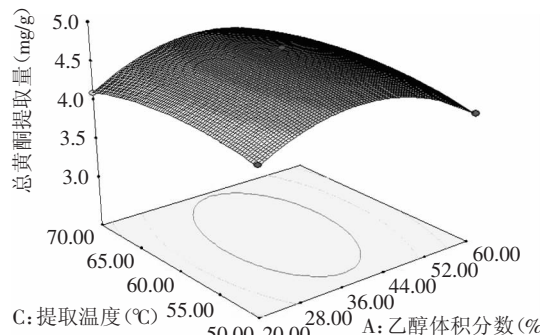


图7 提取温度和乙醇体积分数对总黄酮提取量影响的响应面图

Fig.7 Response surface plot showing the interactive effect of extraction temperature and ethanol concentration on total flavonoids yield

从图8可以看出,等高线的形状为椭圆形,表明料液比B和提取温度C的交互作用极显著,即水飞蓟茎中黄酮含量受料液比B和提取温度C的交互作用显著。响应曲面较为陡峭,响应值随料液比B的变化率大于提取温度C的变化率,说明在两者的交互作用中料液比B对水飞蓟茎中黄酮的含量的影响大于提取温度C。

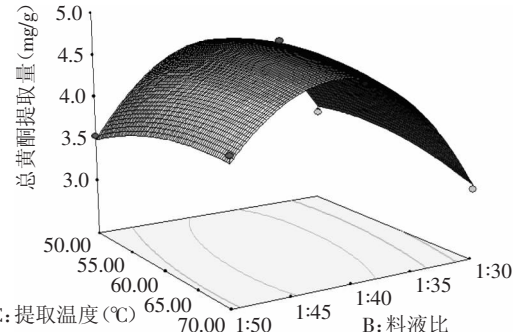


图8 提取温度和料液比对总黄酮提取量影响的响应面图

Fig.8 Response surface plot showing the interactive effect of extraction temperature and material-liquid ratio on total flavonoids yield

2.4 验证实验

根据响应面优化提取水飞蓟茎中总黄酮的工艺,得到的最佳工艺条件为:乙醇体积分数39.35%,料液比1:40.09,提取温度61.04°C。结合实际情况并加以修正最终确定以乙醇体积分数40%,料液比1:40,提取温度61°C为验证实验的最佳工艺条件。进行3次平行验证实验,得到总黄酮的实际平均提取量为4.71mg/g,与理论值4.72mg/g接近。由此可认为实验结果理想,实验模型选择合理。

3 结论与讨论

首先通过单因素实验分别考察料液比、提取时间、提取温度和乙醇体积分数对水飞蓟茎中总黄酮提取量的影响,在此基础上,采用响应面法优化水飞蓟茎中总黄酮的提取工艺,得到水飞蓟茎中总黄酮提取的最佳工艺为:提取时间50min、提取温度61°C、料液比1:40、乙醇体积分数40%。此条件下,水飞蓟茎中总黄酮的提取量达到4.71mg/g。

(下转第303页)

表7 香蕉酸奶质构特性测试结果

Table 7 Test results on texture properties of banana yogurt

序号	x_1 第一循环硬度 (g)	x_2 粘性 (mJ)	x_3 内聚性	x_4 弹性 (mm)
1	8.93	0.13	1.23	3.87
2	12.00	0.63	0.89	6.33
3	9.33	0.37	0.81	3.74
4	9.67	0.60	1.12	2.67
5	8.00	0.25	0.17	3.67
6	10.67	0.40	2.53	2.34
7	8.67	0.20	0.64	5.66
8	9.00	0.63	0.29	4.78
9	12.33	0.57	2.22	6.22
10	13.67	0.37	0.72	2.99
11	9.67	0.43	3.37	6.17
12	11.33	0.75	2.84	3.23
13	10.67	0.17	1.55	4.73
14	8.33	0.37	0.81	3.33
15	10.67	0.33	0.78	2.59
16	8.37	0.53	1.13	2.89
17	5.33	0.47	1.25	3.67

参考文献

[1] 郑欣,余元善,吴继军,等.超高压处理的香蕉汁在贮藏期间的品质变化[J].江西农业大学学报,2014,36(1):62-67.

(上接第298页)

水飞蓟中含有较高的总黄酮,是否能分离出水飞蓟素,是否具有与水飞蓟种子中黄酮相似的药用和保健功能,还有必要做进一步实验研究。由于黄酮类物质都在一定程度上具有保健功能,因此,水飞蓟的开发利用将是水飞蓟产业发展的新途径。

参考文献

- [1] 邹浩军,明亮. 黄酮类化合物抗炎免疫及抗衰老药理研究进展(综述)[J]. 安徽卫生职业技术学院学报,2004,2(6):48-50.
- [2] 崔强,陈景超. 黄酮类化合物生理活性及合成研究进展[J]. 黑龙江科技信息,2011,20:031.
- [3] 陈义磊,马国财,白红进. 刺山柑茎总黄酮提取液体外抗氧化活性的研究[J]. 新疆农业科学,2011,47(12):2489-2495.
- [4] KREN V,WALTEROVA D. Silybin and silymarin: new effects and applications[J]. Biomedical Papers, 2005, 149: 29-41.
- [5] 向昌国,向宁,黄成龙,等. 响应面法优化刺槐花黄酮类化合物的微波提取工艺[J]. 食品科学,2011,32(22):32-36.
- [6] 曹纬国,刘志勤,邵云,等. 黄酮类化合物药理作用的研究进展[J]. 西北植物学报,2003,23(12):2241-2247.
- [7] 唐津忠,鲁晓翔,陈瑞芳. 金莲花中黄酮类化合物的提取及

- [2] 吴剑飞,王海民. 中国香蕉产业发展现状及竞争力分析[J]. 现代农业科技,2013(7):328-335.
- [3] 董涛,陈新建,凡超. 我国香蕉产业面临的主要问题与对策[J]. 广东农业科学,2013(11):220-223.
- [4] 赫君菲. 建立凝固型酸奶质构参数对感官性质的预测模型[D]. 扬州:扬州大学,2013.
- [5] 乔欣,周水明,张筠. 酸奶发酵剂及酸奶工艺的优化研究[J]. 轻工科技,2014(5):14-15.
- [6] 刘四新,李从发. 香蕉酸乳发酵工艺的研究[J]. 中国乳品工业,2002(2):11-13.
- [7] 杨莹莹. 凝固型紫甘薯酸奶发酵工艺优化及质构特性和风味的研究[D]. 烟台:烟台大学,2013.
- [8] 杨莹莹,贺红军,郭萌萌,等. 响应面法分析TPA测试参数对酸奶质构的影响[J]. 现代食品科技,2013,29(6):1281-1284.
- [9] 白永亮,陈庆发,杜冰,等. 香蕉抗性淀粉保健酸奶的研制[J]. 食品科学,2012,33(16):318-323.
- [10] Friedman HH,Whiteney JE,Szczesniak AS. The texturometer-a new instrument for objective texture measurement[J]. Journal of Food Science, 1963, 28(4):390-396.
- [11] Meullenet J F, Lyon B, Carpenter J A, et al. Relationship between sensory and instrumental texture profile attributes [J]. Journal of Sensory Studies, 1998, 13(1):77-93.
- [12] Montejano J G,Hamann D D,Lanier TC. Comparison of two instrumental methods with sensory texture of protein gel [J]. Journal of Texture Studies, 1985, 16(4):403-424.
- 其抗氧化性研究[J]. 食品科学,2003,24(6):88-91.
- [8] 张淑丽,杨世海,张海波,等. 水飞蓟有效成分及其提取方法研究进展[J]. 人参研究,2012,24(4):51-54.
- [9] KATIYAR S K, KORMAN N J, MUKHTAR H, et al. Protective effects of silymarin against photocarcinogenesis in a mouse skin model[J]. Journal of the National Cancer Institute, 1997, 89:556-566.
- [10] FERENCI P,DRAGOSICS B. Randomized controlled trial of silymarin treatment in patients with cirrhosis of liver[J]. Journal of Hepatology, 1989, 9:105-113.
- [11] TAGER M,DIETZMANN J,THIEL U, et al. Restoration of the cellular thiol status of peritoneal macrophages from CAPD patients by the flavonoids silibinin and silymarin. Free Radical Research, 2001, 34:137-151.
- [12] 王敏,张宇,张宏莲,等. 水飞蓟茎叶化学成分研究[J]. 黑龙江医药科学,2010,33(1):78-79.
- [13] 乔孟,屈晓清,丁之恩. 响应面法优化超声波辅助提取湖北海棠叶中总黄酮工艺[J]. 食品科学,2013,34(2):143-147.
- [14] 邓丹雯,杨佩,吕建森,等. 梅素提取工艺优化[J]. 食品与发酵工业,2013(3):210-215.